

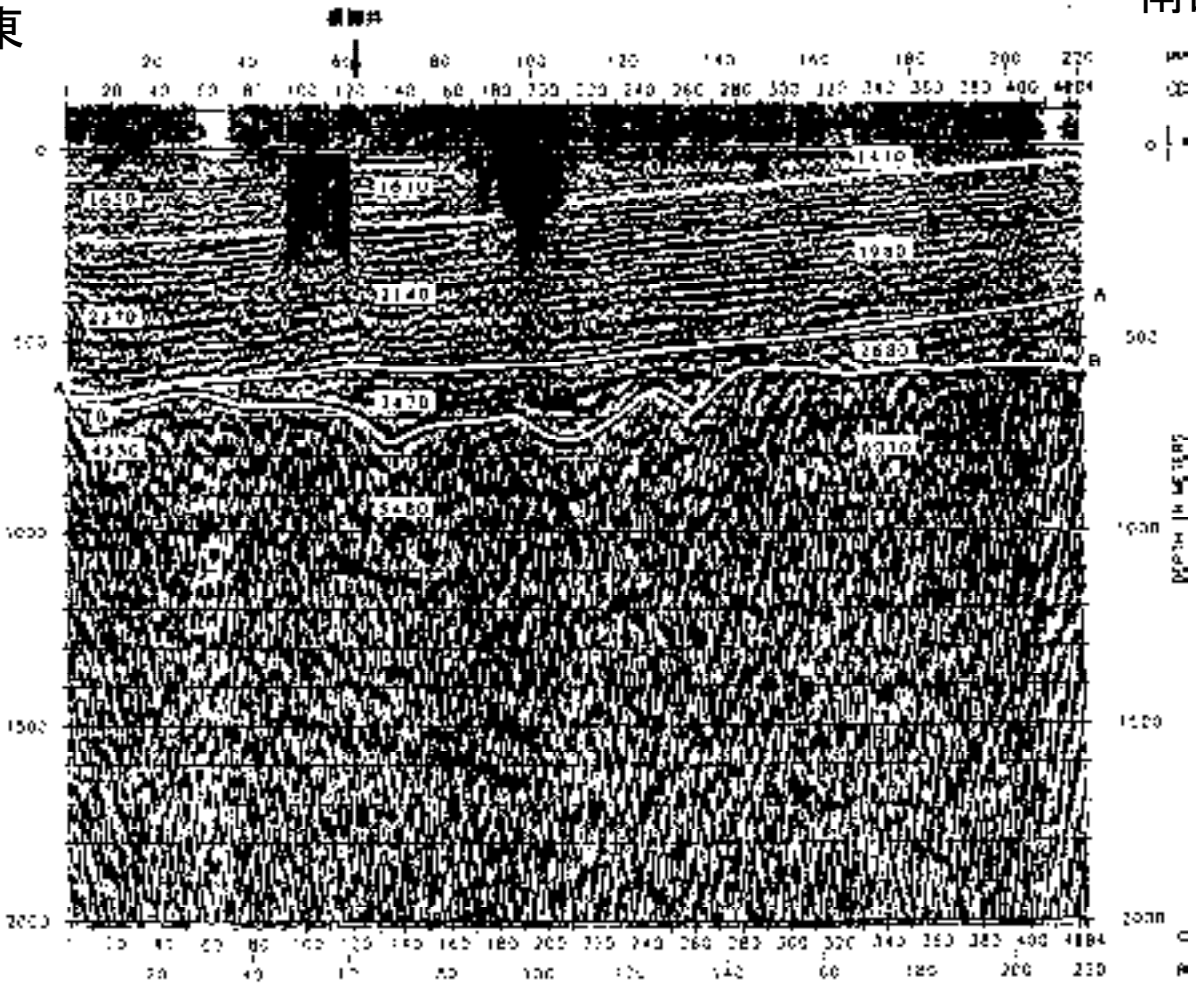
大阪湾内の活断層(2)

北東

南西



— 防災科学技術研究所による反射法探査測線
 反射法地震探査測線位置
 (岩淵・他, 2000に加筆)



防災科学技術研究所による反射法探査の結果

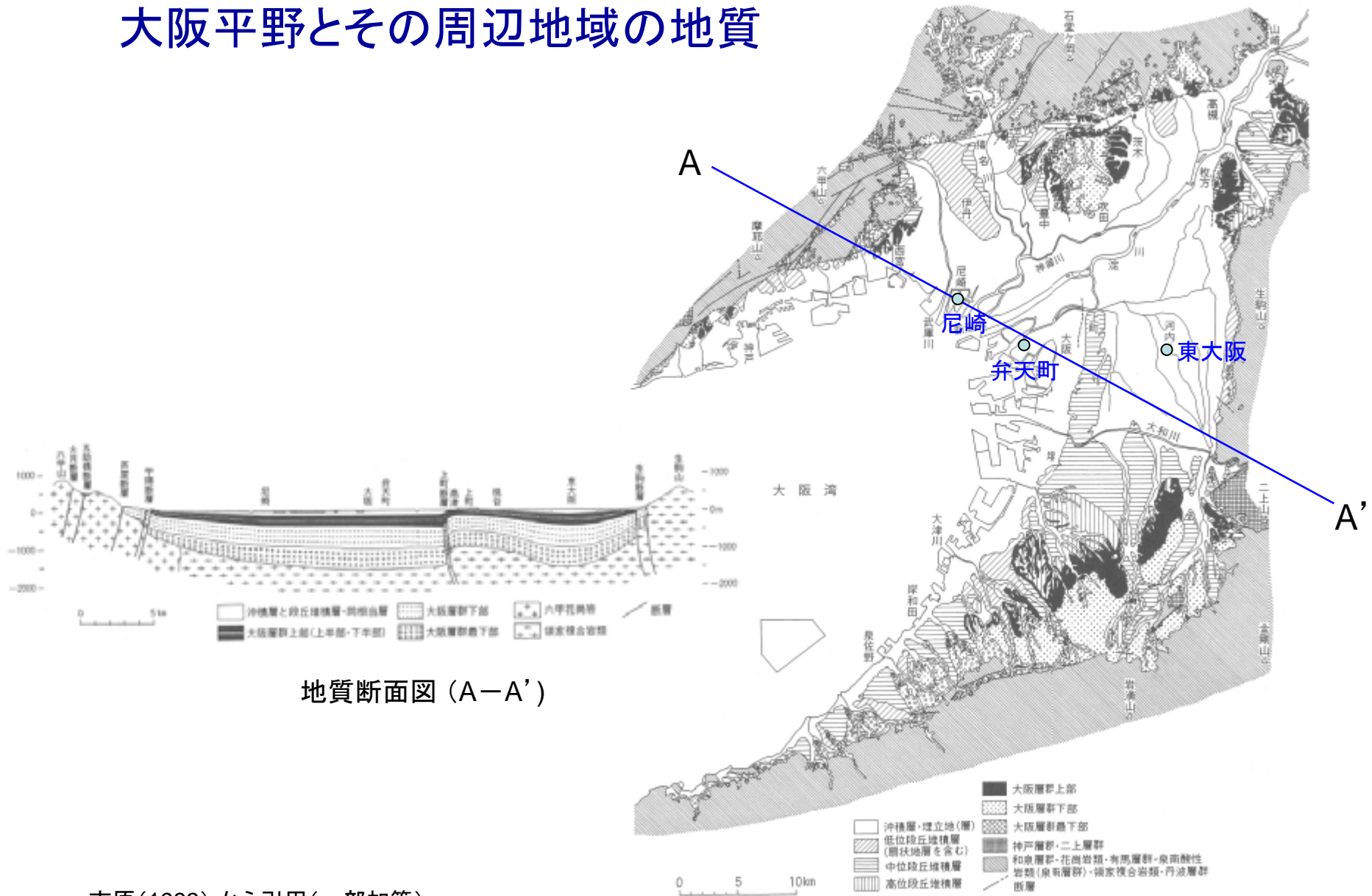
水路部による関西国際空港周辺の断層は、防災科学技術研究所による反射法探査でも確認できない。



評価結果

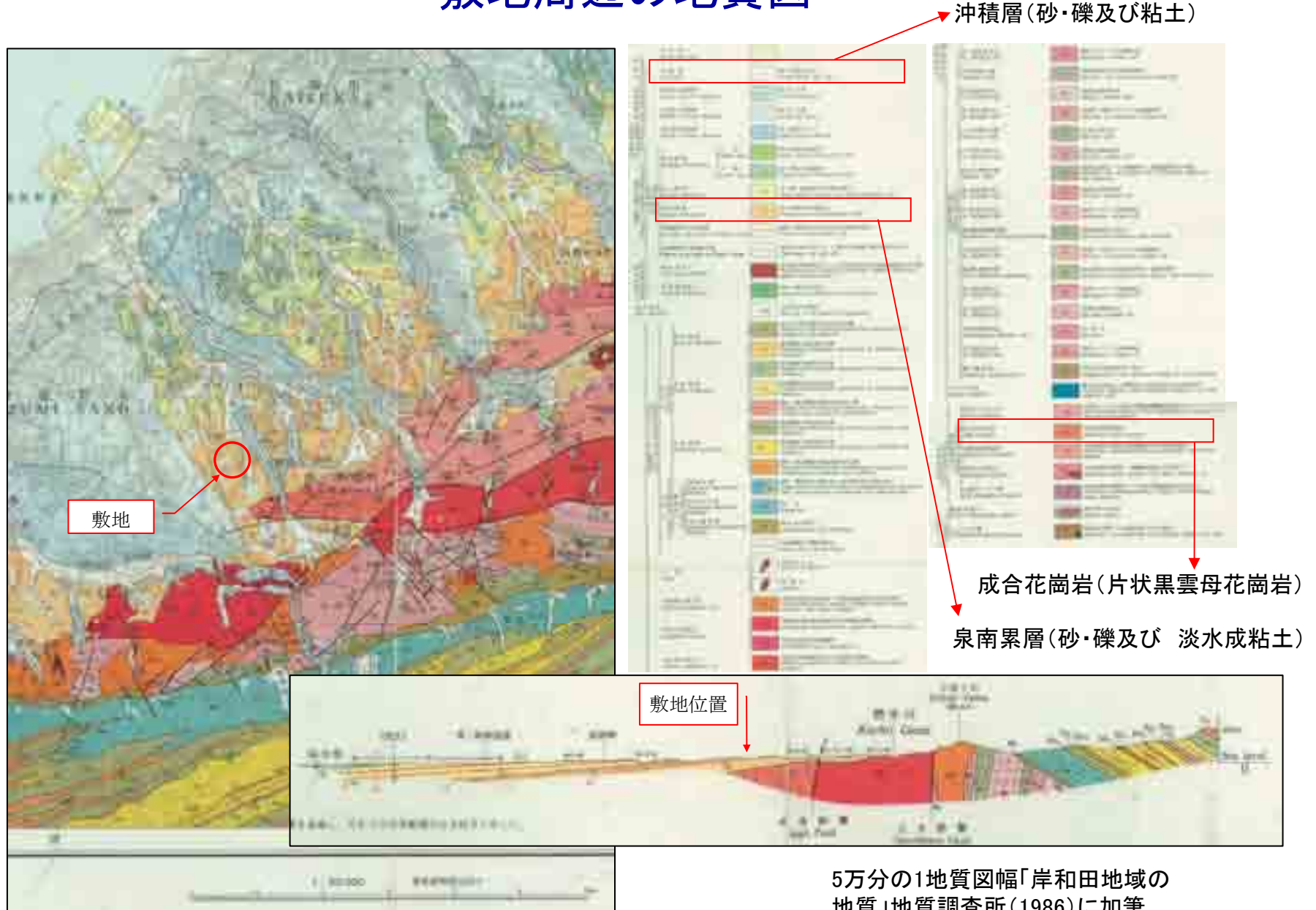
大阪湾断層帯以外に活断層は存在しない

大阪平野とその周辺地域の地質



市原(1993) から引用(一部加筆)

敷地周辺の地質図



1-3 地下構造調査

- 原子炉建屋横でのボーリング調査
- 原子炉建屋近傍でのSWS表面波探査
- 敷地及び敷地周辺での微動アレイ探査
- 敷地及び敷地周辺での単点微動探査

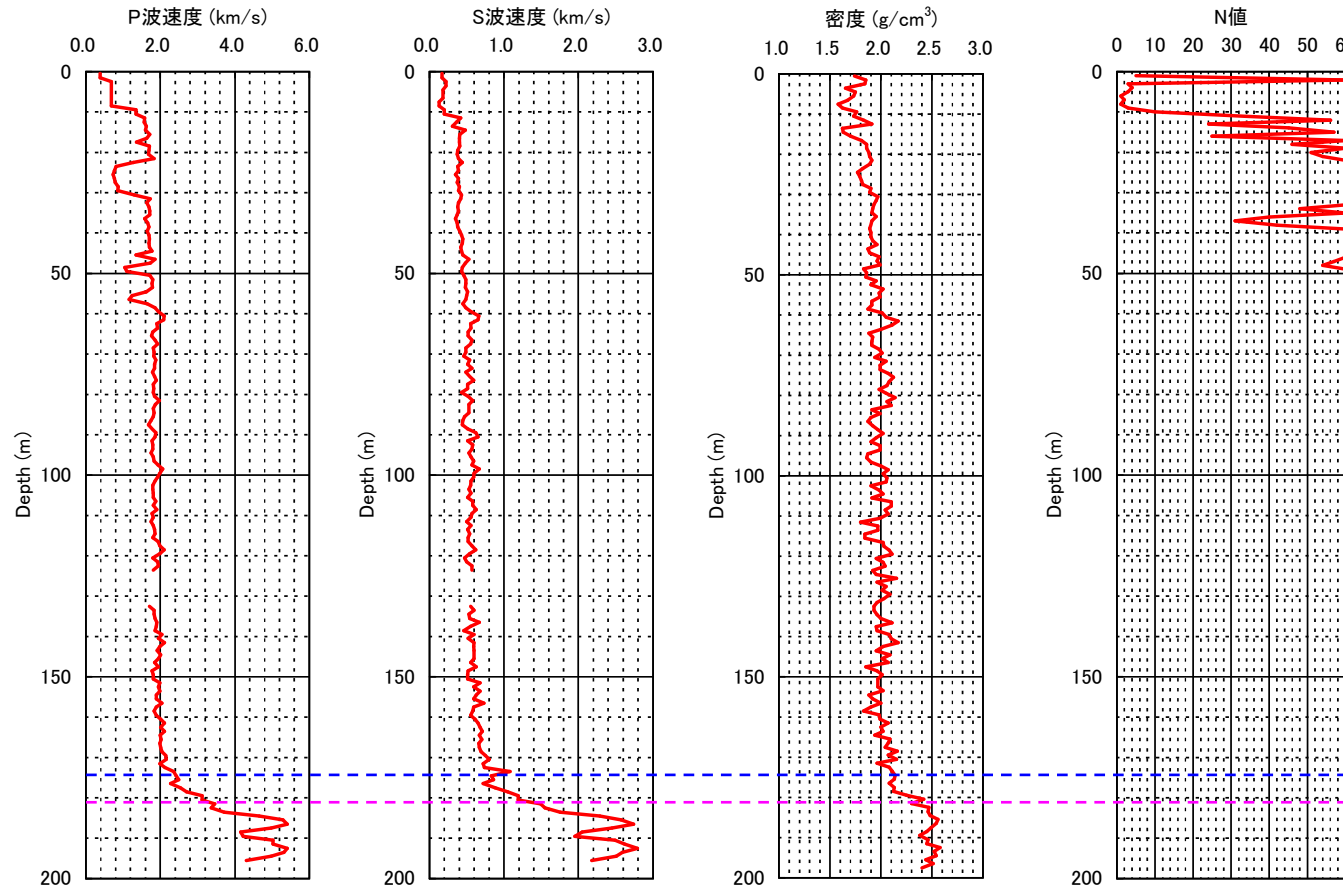
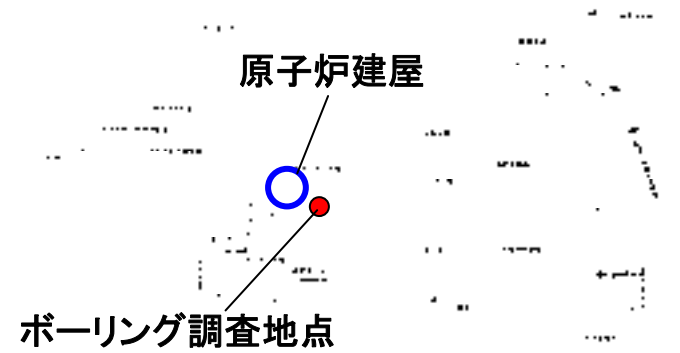
敷地内のボーリング調査の概要



- ボーリングによる
地盤物性調査項目
- ・速度検層
 - ・密度検層
 - ・圧密試験
 - ・3軸圧縮試験
(振動試験を含む)
 - ・標準貫入試験
 - ・その他

ボーリング調査位置図

原子炉建屋近傍のボーリング孔 で実施した検層結果および解放 基盤面(-181m)位置

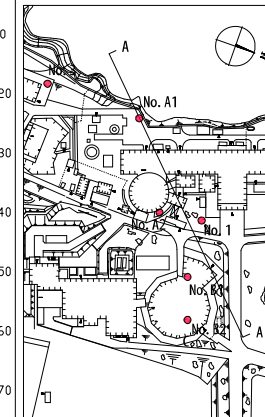
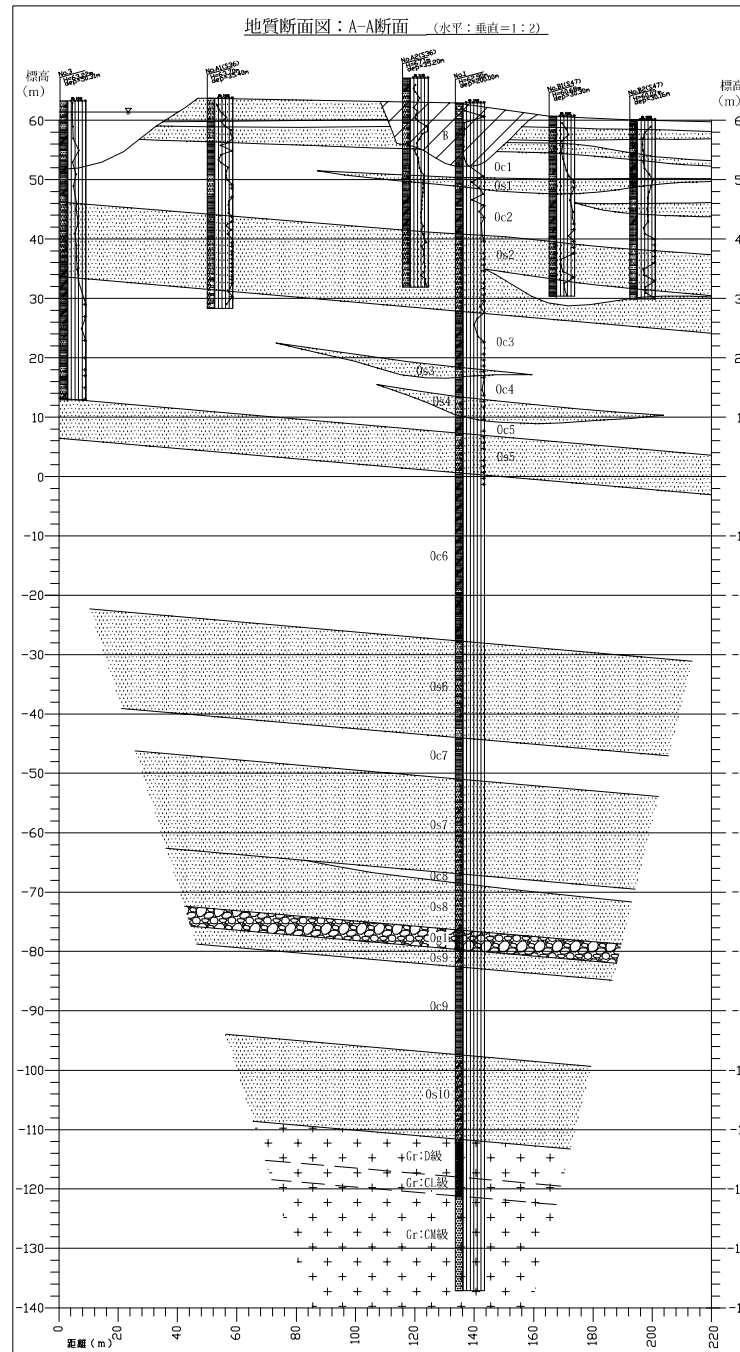


表層-10m程度ま
では埋め戻し土

175m風化花崗岩

181m花崗岩
解放基盤面

原子炉建屋近傍 の地質断面図



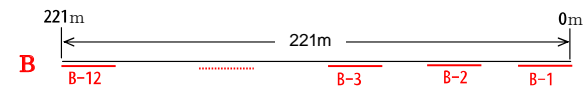
凡例

時代	地層名	記号	地質
完新世	盛土	S	粘性土
更新世 ~ 鮮新世	大阪層群	0c	粘性土層
		0s	砂質土層
		(Symbol with circles)	砂礫層
白堊紀末期	成合花崗岩	Gr	花崗岩

PT100
HT1200

原子炉建屋近傍でのSWS表面波探査

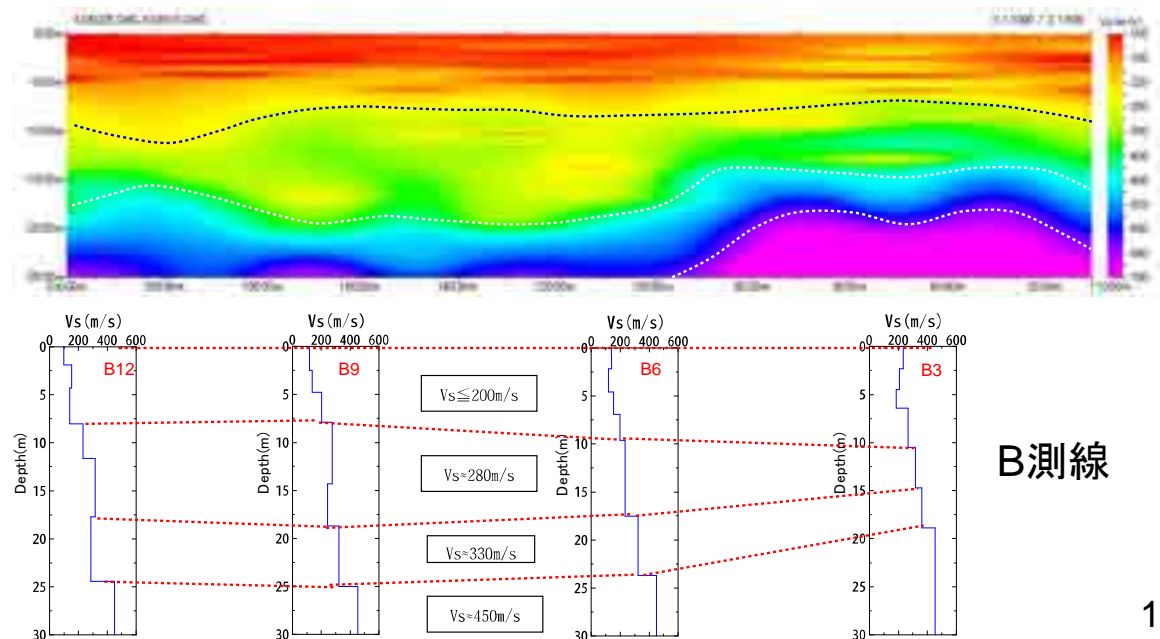
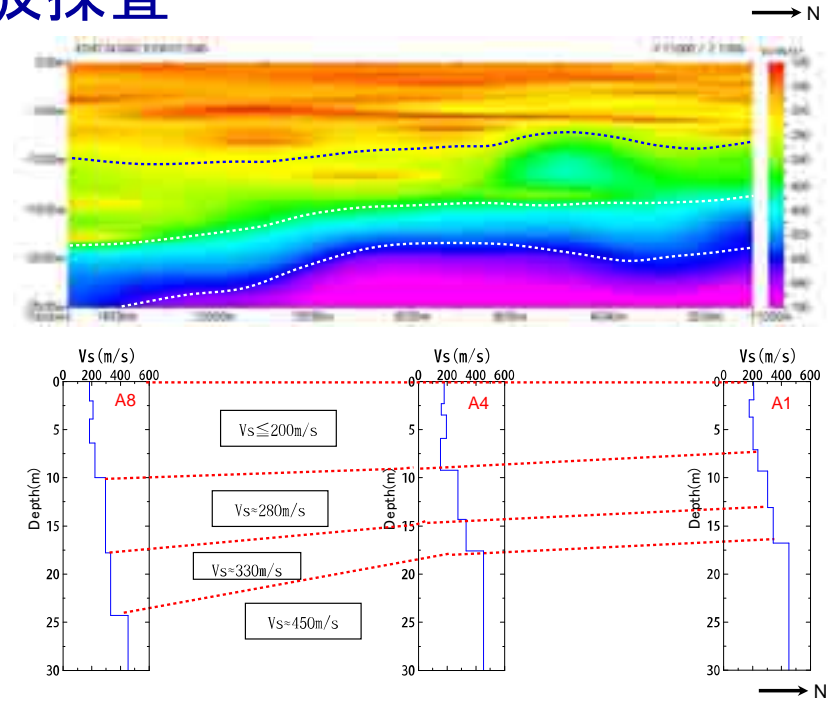
凌, 宮腰, 山本, 釜江, 川辺 (2006) に加筆



探査測線位置

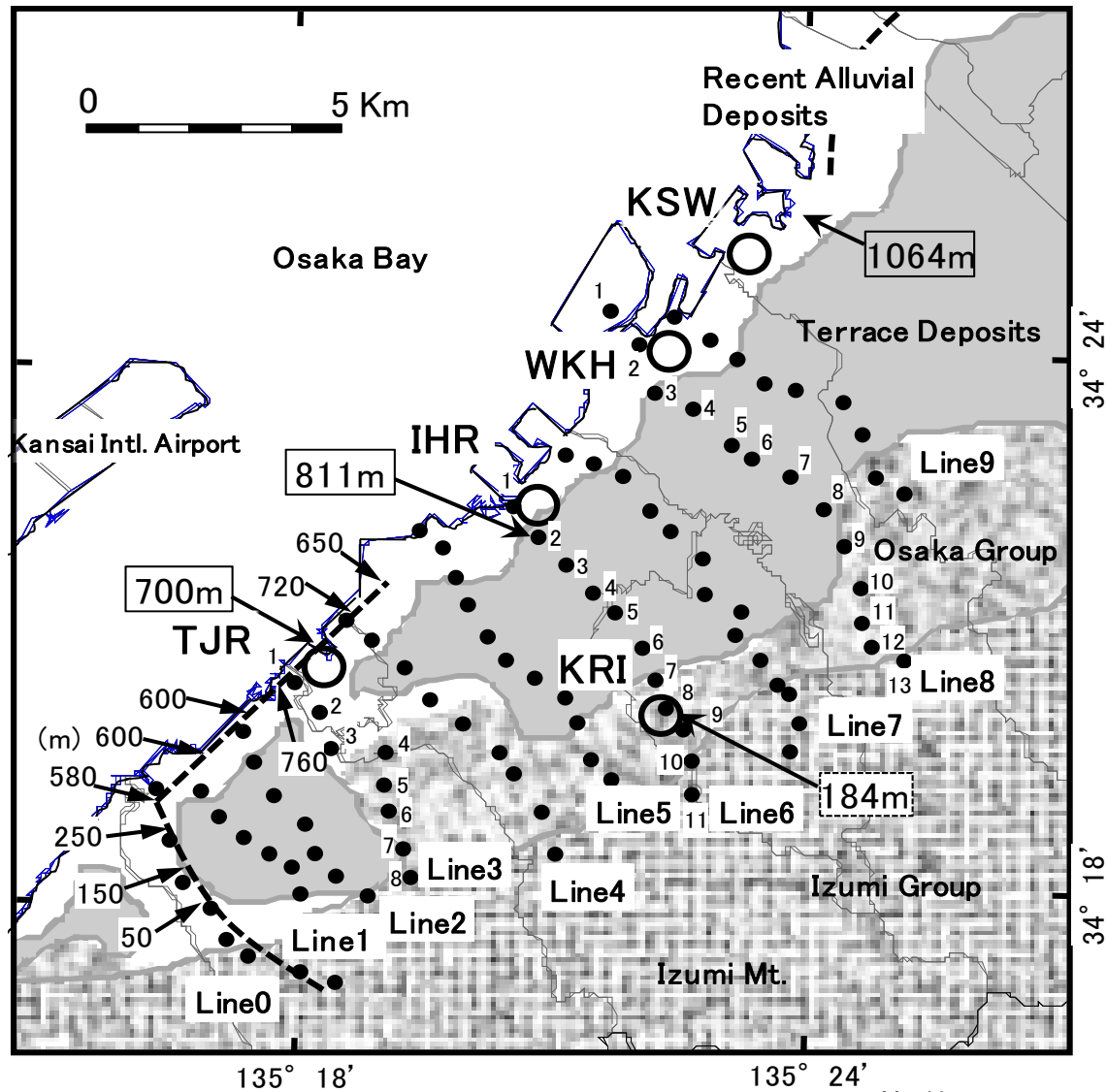
原子炉建屋近傍の表層地盤の南北方向の傾きは最大で5度程度

A測線



B測線

敷地及び敷地周辺の地下構造探査位置



○ 微動アレイ探査位置 ● 単点微動探査位置
 ----- 防災科学技術研究所による反射法探査測線

上林・他(2009)

地下構造調査及び既存の調査結果から求めた 敷地周辺の基盤岩深度

敷地付近の基盤岩の
傾きは5度程度

